

# 14. Durango apatite の エッチング特性並びに計数効率について

内山 肇\*、渡辺公一郎\*\*、野崎徹也\*、本多照幸\* (\*武藏工大・原研、\*\*九大・工)

## I. はじめに

フィッショニ・トラック年代測定では、 $^{238}\text{U}$ の自発核分裂トラック密度と $^{235}\text{U}$ の誘発核分裂トラック密度の比から年代を求めることが基本的原理としている。したがって、実験的に最も重要な要素のひとつとして、トラックを観測するためのエッチングがあり、化学試薬の種類、温度、エッチング時間といったエッチング条件を鉱物ごとに検討することが求められる。又、誘発トラック密度を外部ディテクタを用いて求めるとき、その計数効率も求める年代値に影響を与える要因のひとつである。

本研究では、フィッショニ・トラック年代測定において標準年代試料として用いられるDurango apatiteの自発フィッショニ・トラックに関する基礎的特性として、エッチング時間に対するトラック数、径、長さの変化、及び方位を詳細に検討すること、並びに外部ディテクタ法における誘発フィッショニ・トラックに関する計数効率のzeta値に与える影響について検討することを目的とした。

## II. 実験

### 1. 自発フィッショニ・トラック ( $4\pi$ ) の段階エッチング

Durango apatiteの柱面（約2mm厚にスライスしたもの）を7.0% HNO<sub>3</sub> 25°C 40secの条件でエッチングした後、全てのトラックが消失するところまで研磨を施した（3μm 120min、1μm 30min、0.25μm 20min）。

次に、7.0% HNO<sub>3</sub> 25°Cで、10, 20, 30, 40, 50, 60, 70secと7段階のエッチングを順次実行した。

各エッチング段階で同じ位置を観測し、出現した個々のトラックに対しその投影長、深さ（屈折率：1.635）を各々測微装置を用いて測定し、トラックの全長を算出するとともに、径も測微装置を用いて測定した。測微装置の最小読み取り値は0.1μmである。又、トラックの出現する方向をC-axisを0°として測定を行った。

### 2. 誘発フィッショニ・トラック ( $2\pi$ ) の段階エッチング

上記で使用した、Durango apatiteの柱面をトラックが消失するまで研磨を行い（自発トラックの研磨条件と同じ）、500°C 1時間のアニーリングを行った。

表面状態を良くするため、0.25μm 20minの研磨を行った後、外部ディテクタとしてmica

をとりつけ、武藏工大炉（TRIGA II型、100 kW）の照射溝で、90分間照射した。

照射後micaは46%HF 25°C 40minで、Durango apatiteは7.0%HNO<sub>3</sub> 25°Cで5、8、11、14、17、20、25、30secの段階エッティングを施し各々の誘発トラック密度を求めた。

観測は全て光学顕微鏡（NIKON BIOPHOTO ×1000 DRY）にセットした高品位CCDカメラ（NIKON HQ-1000M）からモニターテレビに画像を取り出して行った。

### III. 結果及び考察

#### 1. 自発フィッシュン・トラック（4π）の段階エッティング

自発トラックのエッティング特性を図1に示す。エッティング時間が50sec程度でプラトー領域に達しており、また、50～70sec間のプラトー勾配は0.127 (%/sec) であった。

図2に各エッティング段階で新たに出現したトラックの平均長と平均径の関係を示す。ここでは40secまでは径が大きくなっているが、50sec以後では長さの増加が著しい。これはBulk etchingの効果により面が移動し、新たにトラックが出現したためと思われる。このことから、7.0%HNO<sub>3</sub> 25°Cの条件では50secが最適エッティング時間であると考えられる。

図3に各エッティング段階でのC-axisに対するトラックの方位の分布を示す。エッティング時間10secの段階では90°方向のトラックが他の方向に比べて出現しにくくなっている。しかし20sec以後ではその傾向はほぼ解消され、どの方向にも同様の増加傾向を示している様に思われる。

図4に10secの段階で出現したトラックのうち、C-axisに平行なトラック及び垂直なトラックの径のエッティング特性を示す。この図から、径の成長速度はトラックの方位により大きな違いがあることがわかる。最適エッティング時間（50sec）における径はC-axisに平行な方位のトラックでおよそ1.5 μm、垂直な方位で2.6 μm程度であり平均すると2 μm程度である。

図5にエッティング50secにおけるトラック長の分布を示す。ここで0～1 μmのトラックが観測されていない。これはトラックが微小なため観測できなかったものと考えられる。実際のトラック密度は、この微小なトラックの分も含めて考えなくてはならない。そこで、0～1 μmのトラック数が1～15 μmのトラック数の平均値であると仮定すると1.07という補正係数が得られる。

#### 2. 誘発フィッシュン・トラック（2π）の段階エッティング

図6にエッティング時間に対する誘発トラック密度の関係を示す。この図から明かな様に、誘発トラック密度はエッティング時間14secでプラトー領域に到達している。また14sec～30sec間のプラトー勾配は0.360 (%/sec) であった。

図7に、エッティング時間に対するgeometry factor g' ( $g' = \rho_{ed} / \rho 2\pi$ ) の関係を示す。 $\rho_{ed}$ （外部デイテクタのトラック密度）はここで一定としてあるので、 $\rho 2\pi$ （2π面の誘発トラック密度）がエッティング時間とともに増加するにしたがい $g'$ は減少している。最適エッティング時間

(14 sec)における $g'$ は0.945であった。

図6においてブロードー勾配は0.360 (%/sec)であったが、これはBulk etchingの効果により面が移動し、新たなトラックが出現した影響と思われる。このBulk etchingの効果がエッティングの初期段階から同じ割合であったと仮定すると、これを補正して、 $g'$ は0.995という値が得られる。

計数効率 $g$ は次式で表される。

$$g = \rho ed / \rho 4\pi$$

2π面のトラック密度 $\rho 2\pi$ を4π面のトラック密度 $\rho 4\pi$ に換算するには、理想的には $\rho 2\pi$ を2倍すれば $\rho 4\pi$ になるはずである。しかし4π面には観測限界以下の微小なトラック（ショートトラック）が存在するので、その影響を考慮して次式の様になる。

$$\rho 4\pi \cdot S = 2 \cdot \rho 2\pi$$

(S : ショートトラックの影響を補正する係数)

これにより $g$ は、次のようになる。

$$\begin{aligned} g &= \rho ed / (2 \cdot \rho 2\pi / S) \\ &= (\rho ed \cdot S) / (2 \cdot \rho 2\pi) \\ &= (g' / 2) \cdot S \end{aligned}$$

ここで、各エッティング時間での $g$ を、係数 $S$ に図5の自発トラック長分布から求めた1.07を用いて、ブロードー勾配による補正を行ったものと行わないものの2種類について表1に示す。また、最適エッティング時間(14 sec)での $g$ に対する他のエッティング時間での $g$ の比も併記した。この表において、エッティング時間が最適エッティング時間よりも短い(under etching)場合、14 secでの $g$ と比較して数パーセントの差があることがわかる。また、補正を行わないものについては、最適エッティング時間以上のエッティング(over etching)を行った場合についても同様に数パーセントの差が現われている。補正を行った場合のover etchingではほとんど差は見られないが、これは、段階エッティングを行ったとき、各段階で同じ位置を観測したため、消えかかっているトラックもトラックと判別できたが、段階エッティングを行わない場合、あるいは行っても観測する位置を特定していない場合には、消えかかっているトラックをトラックとして判別できるかどうか疑わしい。したがって、年代測定を行うときにはエッティング時間を最適に設定することが極めて重要である。

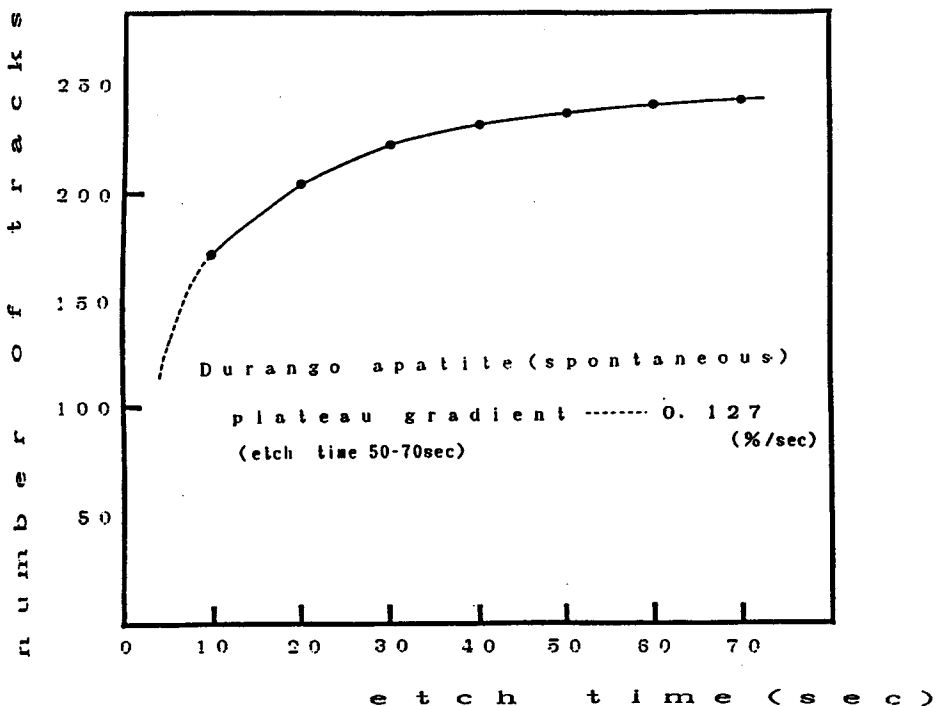


図1. エッティング時間に対する  
自発フィッショング・トラック数の変化

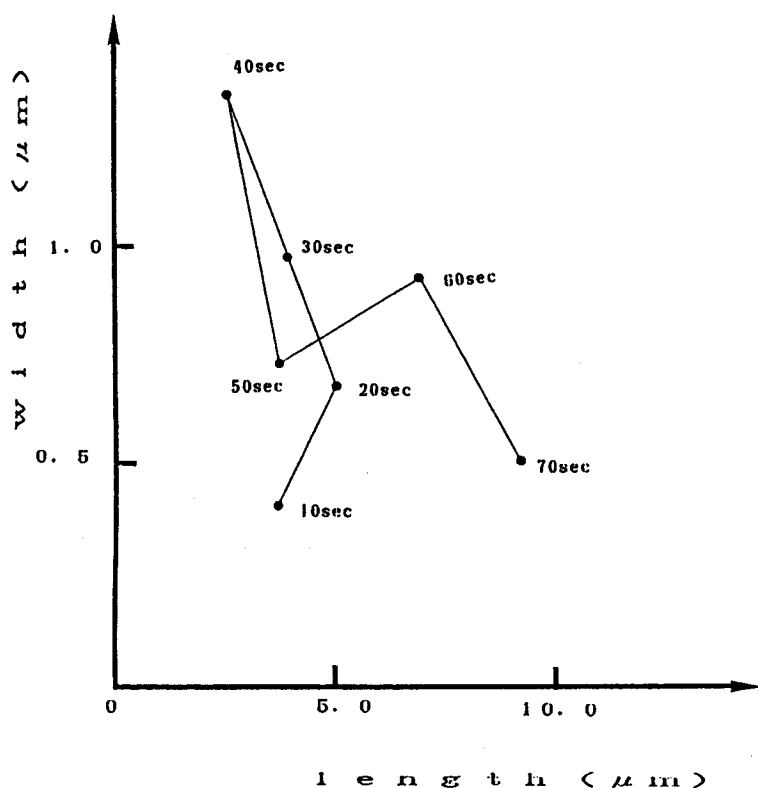


図2. 各エッティング段階で新たに出現した  
トラックの長さと径の関係

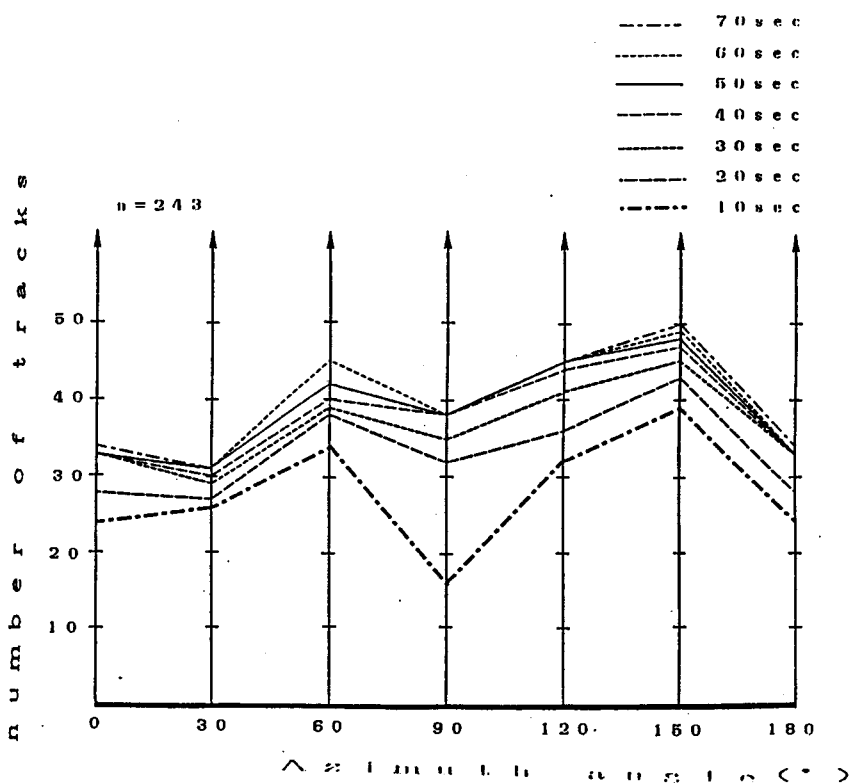


図3. 自発フィッショング・トラックの  
段階エッチングにおける方位分布

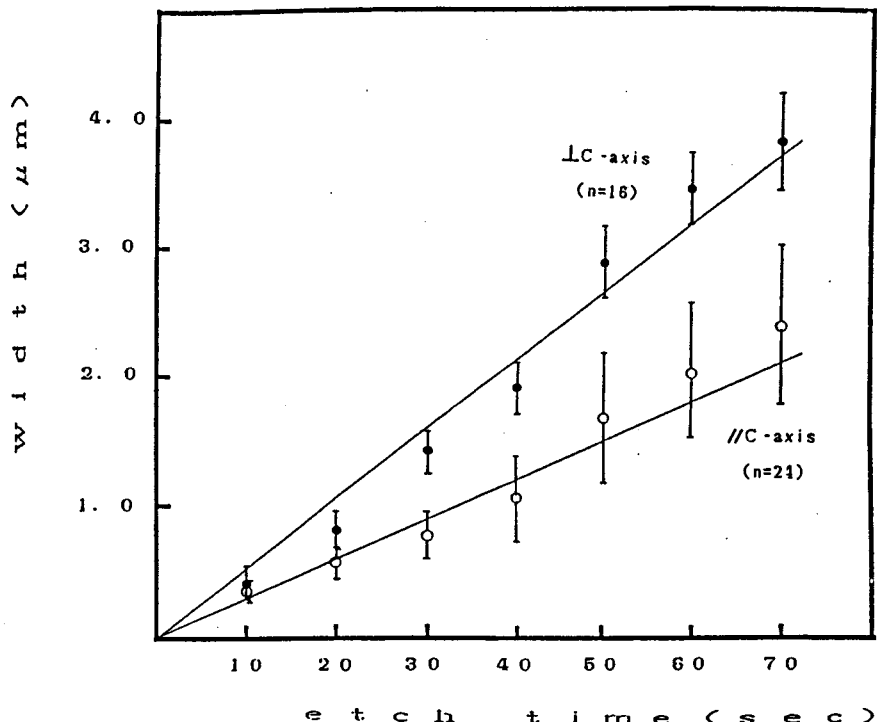


図4. 10 secのエッチングで出現した  
自発フィッショング・トラックの径の変化

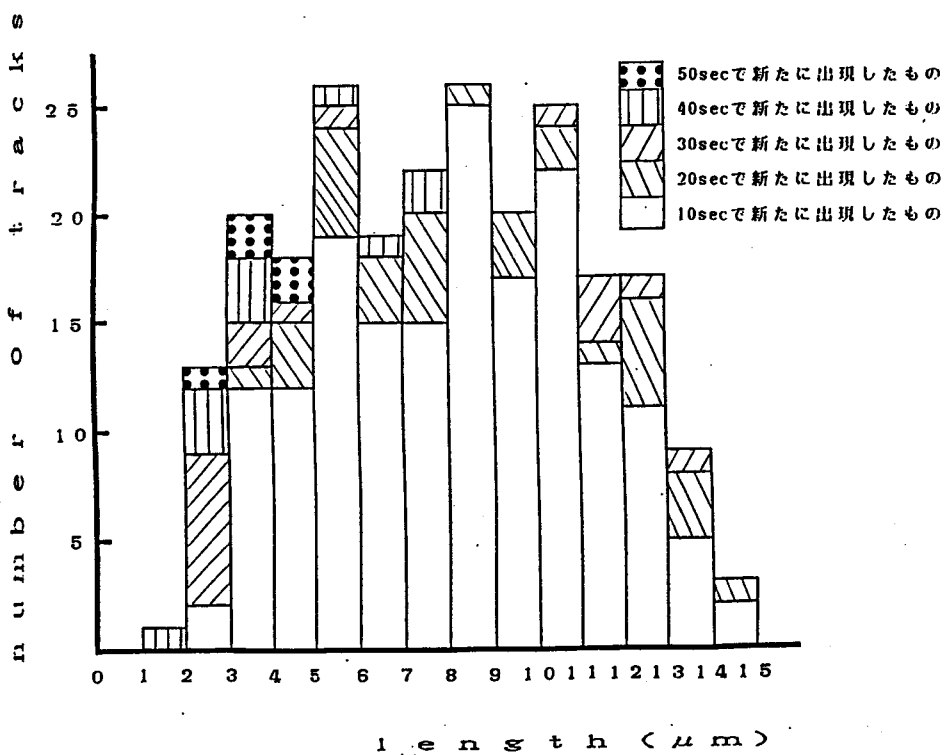


図5. 段階エッティングにおける  
自発フィッショング・トラックの長さの分布

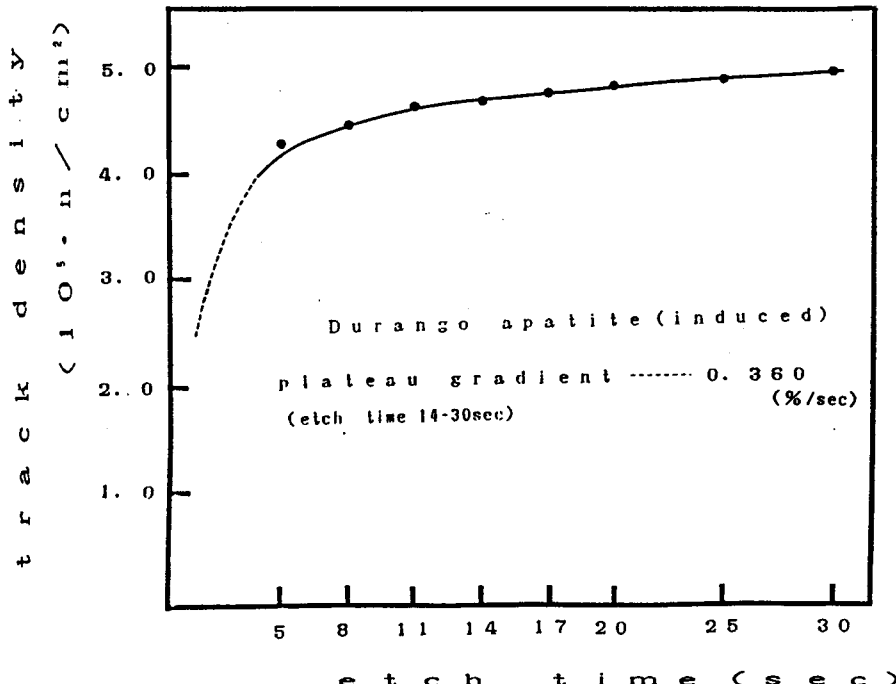


図6. エッティング時間に対する  
誘発フィッショング・トラック密度の変化

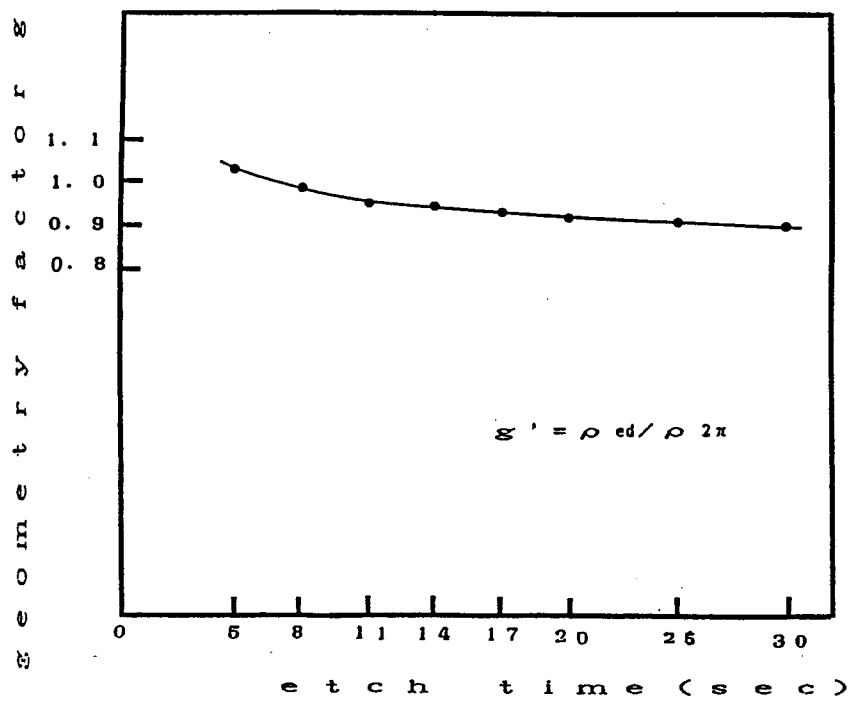


図7. エッティング時間による  
geometry factor  $g'$  の変化

表1. under etching及びover etchingのzeta値に与える影響

| sec | $\zeta$ (補正前) | 比      | $\zeta$ (補正後) | 比      |
|-----|---------------|--------|---------------|--------|
| 5   | 0. 553        | 1. 093 | 0. 564        | 1. 058 |
| 8   | 0. 530        | 1. 047 | 0. 547        | 1. 026 |
| 11  | 0. 511        | 1. 010 | 0. 532        | 0. 998 |
| 14  | 0. 506        | 1. 000 | 0. 533        | 1. 000 |
| 17  | 0. 499        | 0. 986 | 0. 530        | 0. 994 |
| 20  | 0. 492        | 0. 972 | 0. 529        | 0. 992 |
| 25  | 0. 485        | 0. 958 | 0. 530        | 0. 994 |
| 30  | 0. 479        | 0. 947 | 0. 533        | 1. 000 |

#### IV. まとめ

本研究を通じて Durango apatite に関して得られた知見は以下のとおりである。

#### 1. 自発フィッショング・トラック ( $4\pi$ ) の段階エッチング

- 1) 自発フィッショング・トラックの最適エッチング時間は、7. 0% HNO<sub>3</sub>, 25°Cの条件で 50 sec であり ブラトー勾配は、0. 127 (%/sec, 50~70 sec) であった。
- 2) 最適エッチング時間までは、新たに現われるトラックの径が増加し、それ以後に現われるトラックでは 真の長さが増加する。
- 3) 10 sec のエッチングでは C-axis 対し直交方向のトラックが現れにくいが、20 sec 以後では その傾向はほぼ解消され、どの方向にも同様の増加傾向を示している様に思われる。
- 4) 最適エッチング時間における径は、 $> 2 \mu\text{m}$  であった。
- 5) 計数されないショートトラックの寄与が大きくなると  $\bar{\rho}$  値は大きく見積られる。

#### 2. 誘発フィッショング・トラック ( $2\pi$ ) の段階エッチング

- 1) 最適エッチングでの誘発フィッショング・トラックの geometry factor  $g'$  ( $\rho_{ed}/\rho 2\pi$ ) は 0. 945 であった。
- 2) エッチングが充分行われないと  $\bar{\rho}$  値を小さく見積ることとなる。